

Compte rendu de la réunion No. 5
et dans le PS

Personnes présentes: Y. Baconnier, S. Battisti, J. Bosser (SPS),
M. Bouthéon, E. Brouzet, L. Burnod (SPS),
R. Cappi, E. D'Amico (SPS), J.P. Delahaye,
R. Garoby, G. Gelato, J.P. Potier, K.H. Reich,
T. Risselada, J.P. Riunaud, E. Schulte.

* * * * *

AGENDA

1. Instrumentation e^- du SPS (L. Burnod)
2. Les pick-ups du PS avec les e^\pm (E. Schulte)
3. Les transformateurs d'intensité du PS avec les e^\pm (G. Gelato).

Prochaine réunion : Mardi, 23 novembre 1982 à 14h30
dans l'Auditorium PS

AGENDA

1. Spécifications pour le hardware de la RF (R. Garoby)
2. Le wiggler - status report (H.H. Umstätter)
3. L'instrumentation e^\pm (J.P. Riunaud)

J.P. Riunaud

Distribution:

Personnes présentes

1- Instrumentation four et au SPS (L. Burnod)

1.1 Caractéristiques des faisceaux et par comparaison avec les faisceaux $p\bar{p}$:

- Dans ces différents modes d'opération formules indiquées dans la LEP Note 395, la gamme d'intensité de e^+ ou e^- accélérés par bunch dans le SPS est de $4 \text{ à } 16 \times 10^3 \text{ ppb}$.
Cette gamme se situe au milieu de la gamme des intensités actuelles des faisceaux $p\bar{p}$ ($de 5 \times 10^8 \text{ à } 10^{11} \text{ ppb}$) et ne pose donc pas de problème particulier.
- Le nombre de paquets accélérés (8 ou 4) est différent de celui qui est utilisé dans les opérations $p\bar{p}$ (3×3 , 6×6 et même 12×12). L'horloge de base actuellement utilisée pour le choix des paquets devra être adaptée à ce nombre de paquets.
- A l'opposé de l'opération $p\bar{p}$, dans l'opération il y a un seul type de particule circulante à la fois dans la machine, ce qui simplifie le beam monitoring.

1.2 Mesures d'intensité

Les caractéristiques des moniteurs d'intensité sont indiquées dans les annexes A1 et A2. Ils consistent en:

- Un transformateur de courant haute intensité donnant la totalité du courant circulant ($1 \text{ bit} = 10^3 \text{ p.e.p.}$)
- Des fiche-ups électrostatiques
 - Dans TT70, donnant l'intensité du paquet de p ($1 \text{ bit} = 10^7 p$)

- Dans le sextant 3, donnant l'intensité de \bar{p} par bunch mesurée toutes les 30 ms pendant 12 secondes de l'injection à haute énergie ($1 \text{ bit} = 3.4 \times 10^7 \bar{p}$)
- Dans le sextant 4, donnant l'intensité de \bar{p} par bunch mesurée à chaque tour SPS pendant les 256 premiers tours. ($1 \text{ bit} = 10^7 \bar{p}$)

Les pick-ups électrostatiques ne sont pas sensibles à la longueur des paquets (Bande passante 250 à 700 kHz).

- Des coupleurs directionnels donnant l'intensité de \bar{p} ou de \bar{F} par bunch toutes les 1/4 s. Les particules dégroupées ne sont pas mesurées et la mesure est sensible à la longueur des paquets.

1.3. Les mesures de positions du faisceau sont réalisées à l'aide de 216 pick-ups électrostatiques et de 16 coupleurs directionnels (qui permettent de voir les différents paquets).

Pour l'observation de routine de l'orbite les coupleurs directionnels sont utilisés, mais pour les mesures précises et les corrections d'orbite, les 216 PU sont utilisées avec un faisceau ayant une structure à 200 MHz.

Le problème principal posé par l'opération avec les e^\pm est celui du rayonnement synchrotron dans les PU électrostatiques. En effet, la partie externe de ces PU est frappée par ce rayonnement et des électrons sont émis par effet photo-électrique introduisant une erreur non négligeable sur la mesure.

Pour étudier l'influence de ce rayonnement sur les PV's, deux expériences ont été menées à DCI (Orsay): (8)

- Dans la première (voir SPS/ABM/LB/Note 82-01) le nombre d'électrons N_e émis par une électrode en acier inox frappé par N_γ photons a été mesuré et trouvé égal à:

$$N_e = \frac{\delta}{\sin \phi} N_\gamma$$

avec $\delta = 5 \times 10^{-3}$

et ϕ = angle d'incidence des photons (15 mrad au SPS)

Le spectre des photons incidents était alors limité entre 3 et 15 keV par une fenêtre de 300 μ m de beryllium.

L'estimation de l'erreur de position donnée par les PV's serait, d'après cette expérience, de l'ordre de 5%.

- Dans la deuxième expérience (voir SPS/ABM/LB/Note 82-08) l'équipement a été directement connecté au rideau de DCI pour laisser passer le spectre complet des photons incidents. De plus des barres de cuivre de $4 \times 5 \text{ mm}^2$ ont été placées de chaque côté des électrodes pour les protéger du rayonnement sans limiter l'ouverture.

Il est alors affaru que le facteur δ était plus faible que celui que avait été mesuré lors de la première expérience (principalement car les photons à basse énergie subissent une réflexion totale à faible angle d'incidence).

L'estimation de l'erreur de position était alors ramenée à 1%.

L'efficacité du blindage à l'aide des barres de cuivre a été évaluée à un facteur 30 environ.

Les principales modifications prises pour les mesures de positions des et sont donc :

- la protection des PU par ces barres de cuivre de $4 \times 5 \text{ mm}^2$
- dans l'électronique de traitement, le changement de la fréquence intermédiaire par une fréquence plus élevée (voir annexes A9 à A12).
- l'introduction d'un microprocesseur pour permettre 3 acquisitions sur ces cycles pour protons et 4 acquisitions sur ces cycles pour e^\pm .
- l'introduction de la possibilité de pulser les 216 déflecteurs de correction d'orbite pour corriger l'orbite pendant le cycle pour e^\pm (μP).

1.4 Les mesures de profil sont réalisées au moyen de :

- un wire scanner qui donne une mesure assez précise, quand la mécanique est bien au point (vitesse du fil 4 m/s). Ce dispositif permet une mesure individuelle par faisceau.
- un moniteur à lumière synchrotron qui permet aussi une mesure individuelle par faisceau.

Dans le plan vertical la concordance est bonne entre ces deux types de mesures (10% en profil et 20% en emittance).

Dans le plan horizontal une bonne calibration n'a pas

(5)

peut encore être obtenue à cause de la dispersion d'énergie.

Avec les e^\pm le spectre du rayonnement synchrotron est plus large et un choix devra être fait entre lumière visible ou Rayons X. De plus d'autres problèmes apparaissent (diffraction, profondeur de champ, puissance du rayonnement allant jusqu'à 2.4 W/m).

La mesure de profil longitudinal sera possible (avec photodiode rapide ou streak camera).

Il apparaît que le problème le plus important dans l'installation d'un moniteur à lumière synchrotron est le problème optique et mécanique de l'extraction de la lumière de l'endroit où elle est produite.

2 - les PU's du PS avec les e^\pm (E. Schulte).

Opération avec e^\pm pose 3 problèmes pour ces PU's du PS :

2.1 La sensibilité - Elle permet actuellement une résolution de 1 mm pour un faisceau de $3 \times 10^{10} \text{ ppb}$. Comme les intensités accélérées pourront descendre jusqu'à $5 \times 10^{10} \text{ ppb}$ (varante 1), cette sensibilité devra être augmentée, principalement en réduisant le bruit dans la chaîne d'amplification.

2.2 La bande passante limitée à 30 GHz. On peut y remédier par l'introduction de filtres de Bessel sur les capteurs, avant l'amplification, mais pour l'instant

(6)

il ne s'agit que de premières idées et aucun essai n'a encore été fait.

2.3 La lumière synchrotron. Dans le cas des e^- les électrodes ne sont pas soumises au rayonnement synchrotron car l'angle est favorable ; par contre elles le sont dans le cas des e^+ .

Les électrodes placées dans les chambres normales sont particulièrement protégées (voir annexe B3) mais la situation est bien plus mauvaise pour les 14 PU's qui sont placées dans les chambres élargies.

Une étude approfondie sur l'effet du rayonnement synchrotron sur ces PU's, en tenant compte des résultats des expériences SPS à DCI, n'a pas encore été entreprise.

D'autre part, la résonance à 200 MHz de l'électrode risque aussi de poser des problèmes.

3 Les transformateurs d'intensité du PS avec les e^\pm (G. Gelato)

- Les intensités d' e^\pm circulant dans le PS varient entre 3 mA (variante 1) et 6 mA (mode nominal et variante 2). Ces intensités sont dans les gammes actuelles des transformateurs PS et ne posent donc pas de problème.
- Les longueurs de bunch très courtes en cours d'accélération (0.35 ns à 20) risquent par contre de poser des problèmes d'observation et cette contrainte devra être prise en considération lors de la revue des besoins en instrumentation e^\pm pour le PS.

ANNEXE

11

L. Burnod
4-11-1982

SPS/ABM/LB/Note 82-09

26.10.82

Beam intensity measurement in pp mode

The beam intensity in $p\bar{p}$ mode is measured by various monitors. The situation up to date is as follows.

1. High intensity BCT

Layout : BCT 4.1439
 : BCT 5.1439

Function : gives the total of circulating charges (p & \bar{p}) in the ring

DMS : BCT

Resolution : 1 bit = 1×10^9 particles.

2. 'Electrostatic' pick-ups AES

(a) in TT70

Layout : AES 7007

Function : gives the \bar{p} charges injected from CPS to SPS, as they pass through TT70

DMS : PAPOS in GP6, N-value 7

: In extended cycle, property # \$11 bunch Z
\$21 bunch Y
\$31 bunch X

: In normal cycle (2p, 1p), property = 531 bunch Z

Resolution with maximum gain of 60 db : 1 bit = 1.05×10^7 particles

(b) in sextant 3

Layout : 3.2302

Function : gives the \bar{p} charges in each bunch measured every 30 ms for 12 seconds (400 acquisitions) during the accelerating cycle, from injection to coast

DMS PAPIR in GP3 N-value 1 = bunch Z
2 = bunch Y
3 = bunch X

A2

- 2 -

Resolution with maximum gain of 60 db : 1 bit = 3.39×10^7 particles

As the overall bandwidth of this system is 250 to 700 kHz at 3 db, the monitor is not sensitive to the bunch length.

(c) in sextant 4

Layout : 4.0904

Function : gives the \bar{p} charges in each bunch measured at each SPS revolution during the first 256 revolutions at injection.
It is not sensitive to the bunch length

DMS : PAPI in GP4
: 1 N-value but 3 acquisitions # AQ1 bunch Z
AQ2 bunch Y
AQ3 bunch X

Resolution with maximum gain of 60 db : 1 bit = 1.05×10^7 particles.

3. Directional couplers BPCR

Layout : 3.1431 & 3.1433

Function : gives the p and \bar{p} charges of each bunch measured at each simulated cycle (cycle 2) during the coast.
Due to the directivity of its 2 ports ($\sim 72/1$)
the \bar{p} measurement is less affected by the presence of intense p bunches.
Due to its overall bandwidth ((50+2) MHz), it measures the RF captured beam and is sensitive to bunch length

DMS : up to now, no dedicated DMS
: use of DMS DAMPA, GPMPX, CAMAC

Resolution with maximum gain of 60 db in \bar{p} mode : 1 bit = 6×10^4 particles.

PBAR INTENETIES ACQUISITION 2 MAY 32 17.25

SHOT170, NUMBER 7 OF THE PAY

AA "LOST" INTENSITY

#N

TTL2 LOOP TRANSFORMER

12.18

TT2 TRAF0 BEFORE PS INJ

12.44

PS EJECTION(581 TO SPS OR ISR

11.21

SPS INJECTED

12.81 13.19 11.92

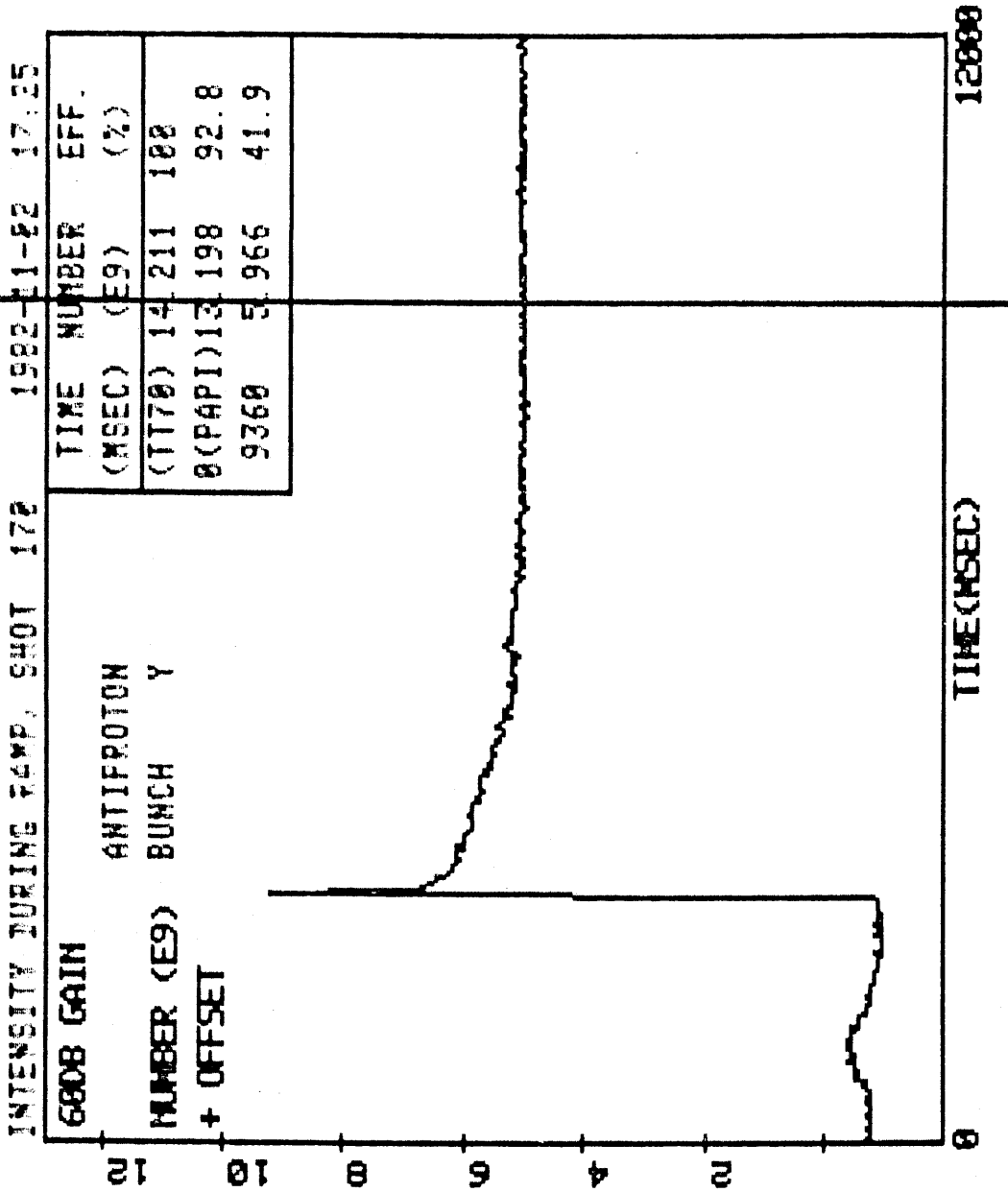
SPS COASTING

4.98 5.93 5.83

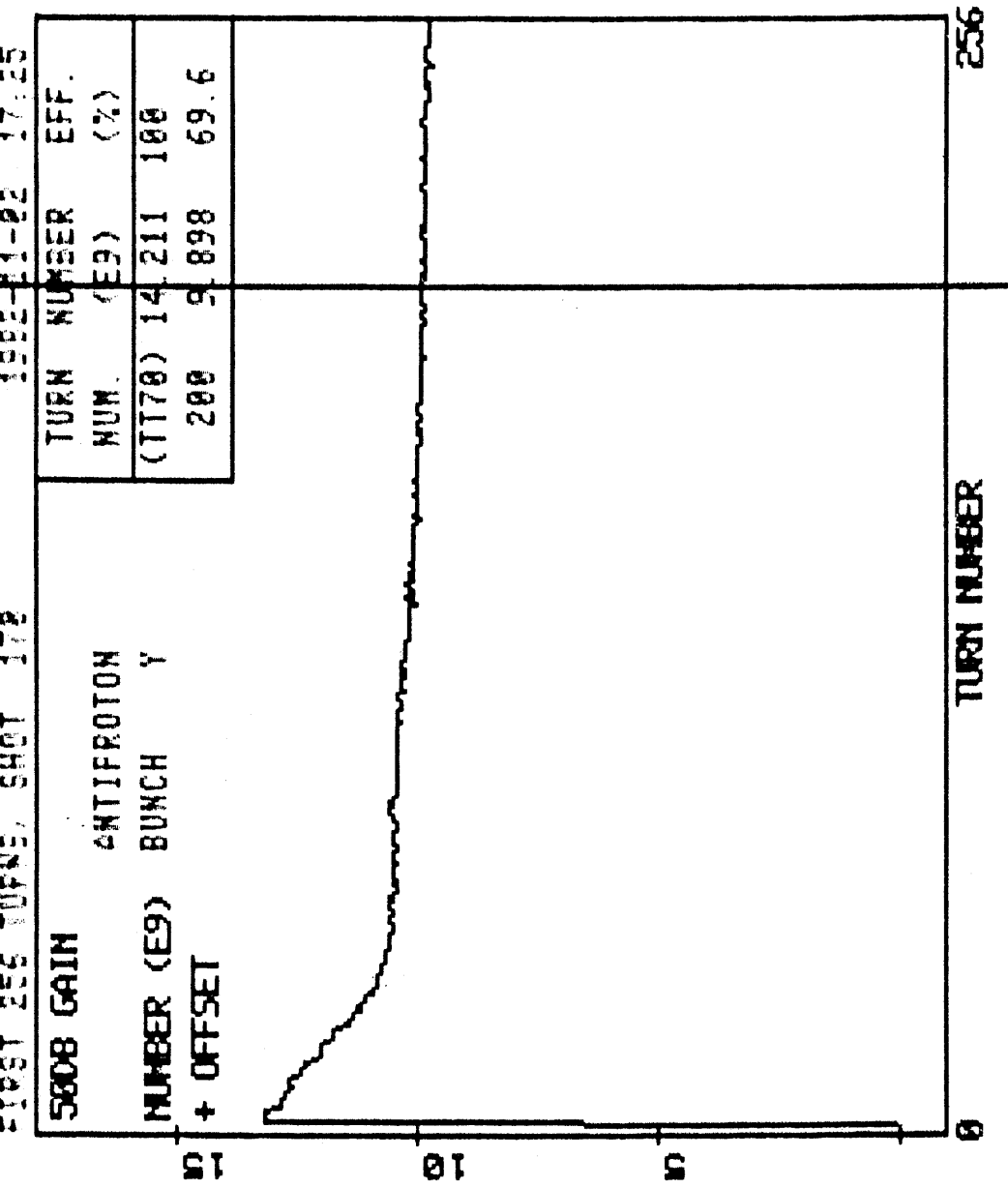
ARG(1)= 117

ARG(2)= 15

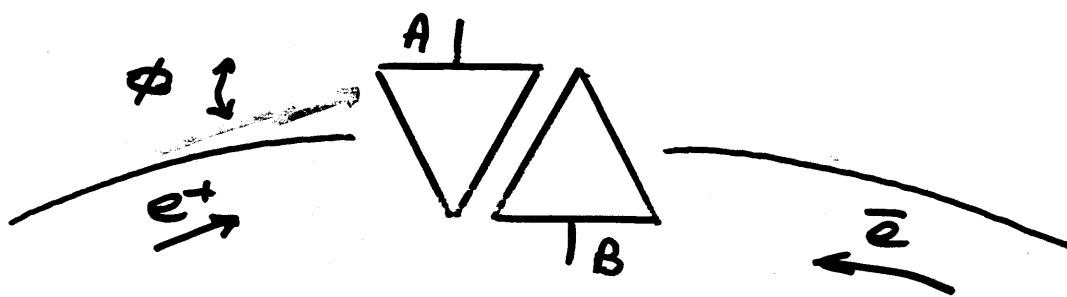
A4



A5

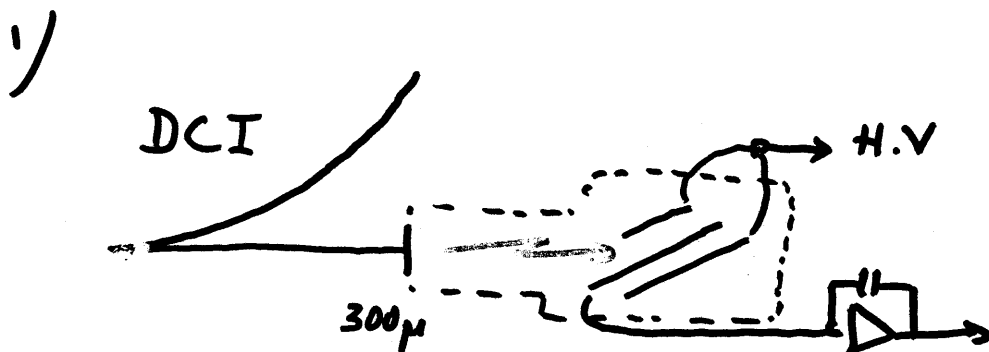


Synchrotron radiation effect on P.U electrodes



$$N_e = \frac{J}{\sin \phi} N_\gamma$$

$$\left. \begin{array}{l} J = .1 \text{ ?(AP)} \\ \phi = 15 \text{ mrad} \end{array} \right\} \rightarrow \left| \begin{array}{l} N_e \approx N_b \\ \text{Error} \approx 100 \% \end{array} \right.$$



$$J = 5 \cdot 10^{-3} \text{ (Stainless steel)} \rightarrow \text{Error} \approx 5 \% \text{ at } 80 \text{ GeV}$$

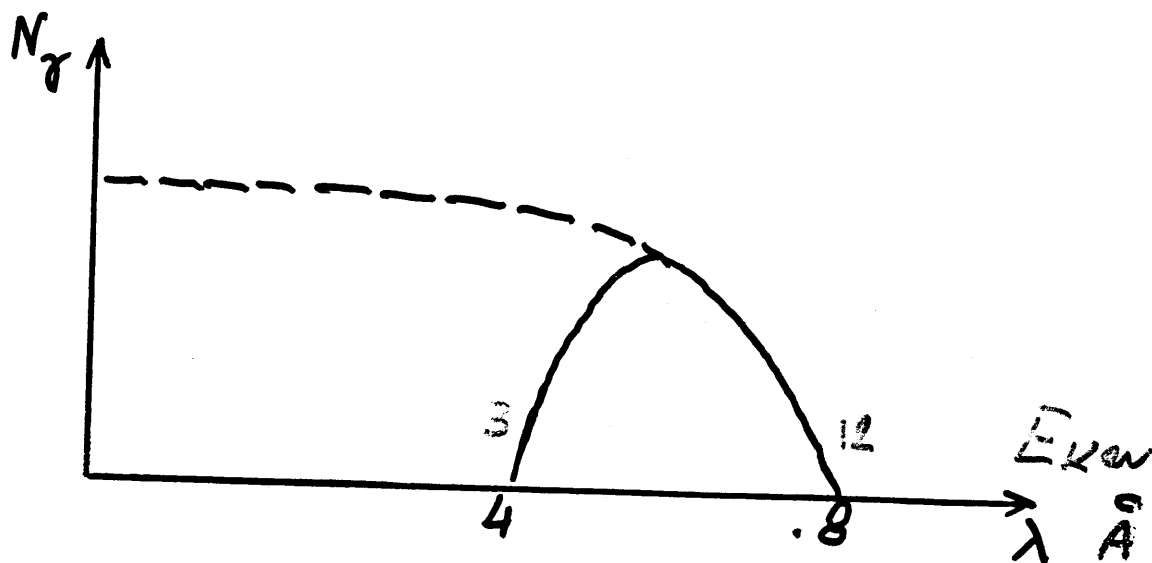


Fig. 3

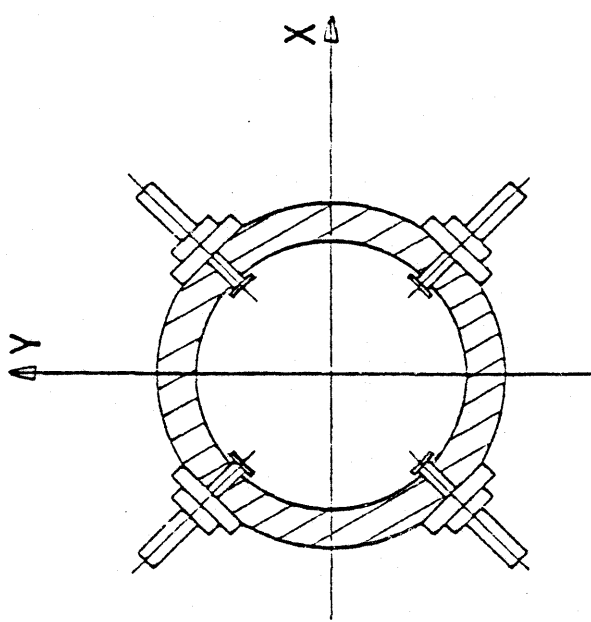
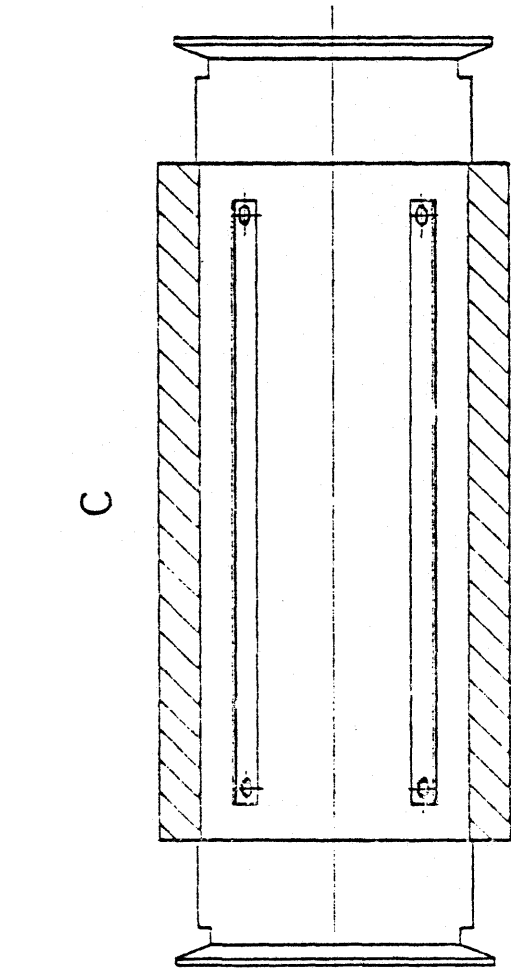


Fig. 4

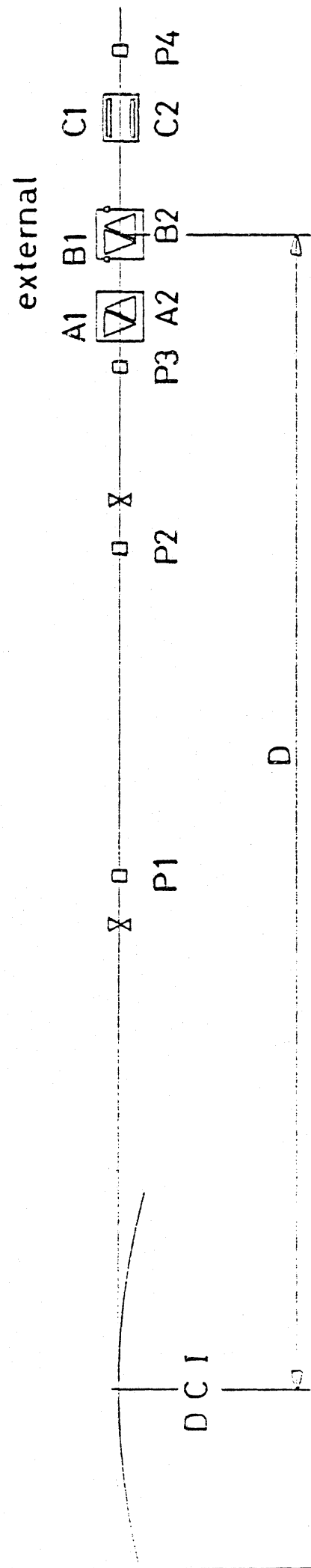


Fig. 1

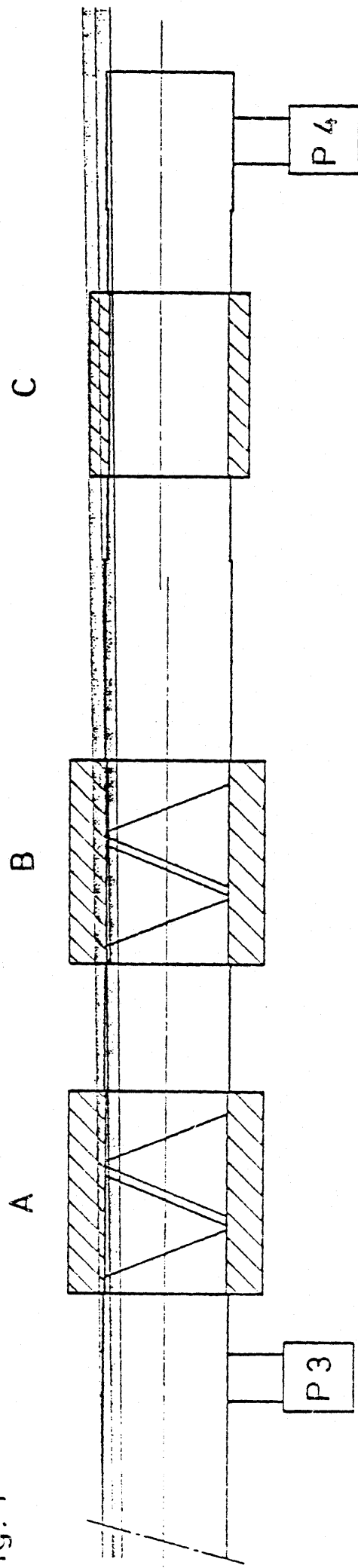
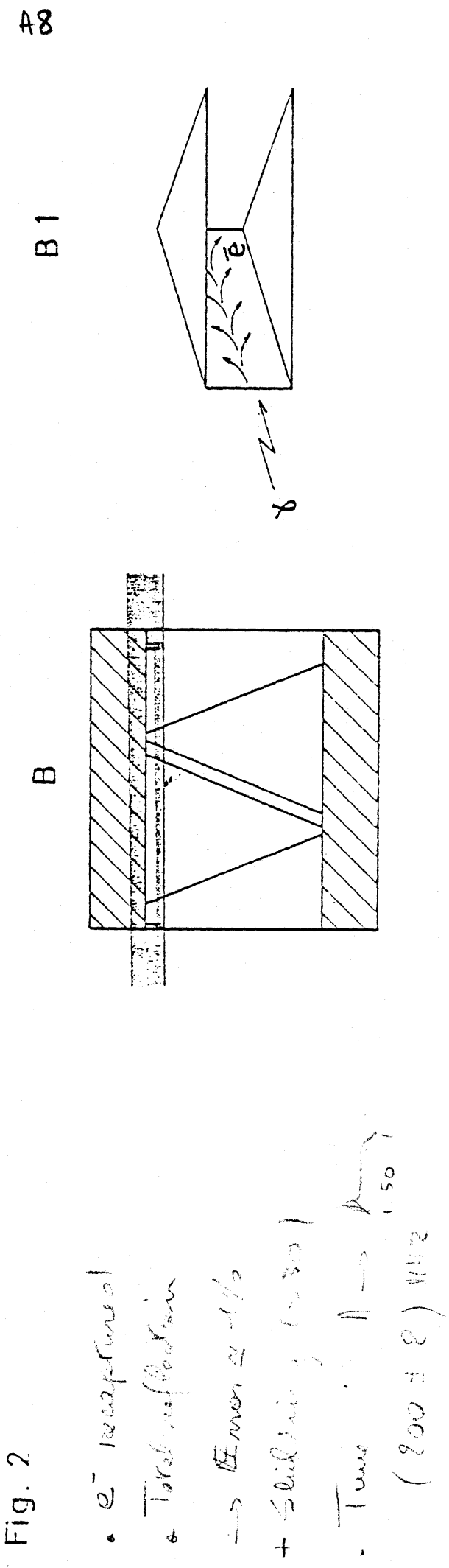
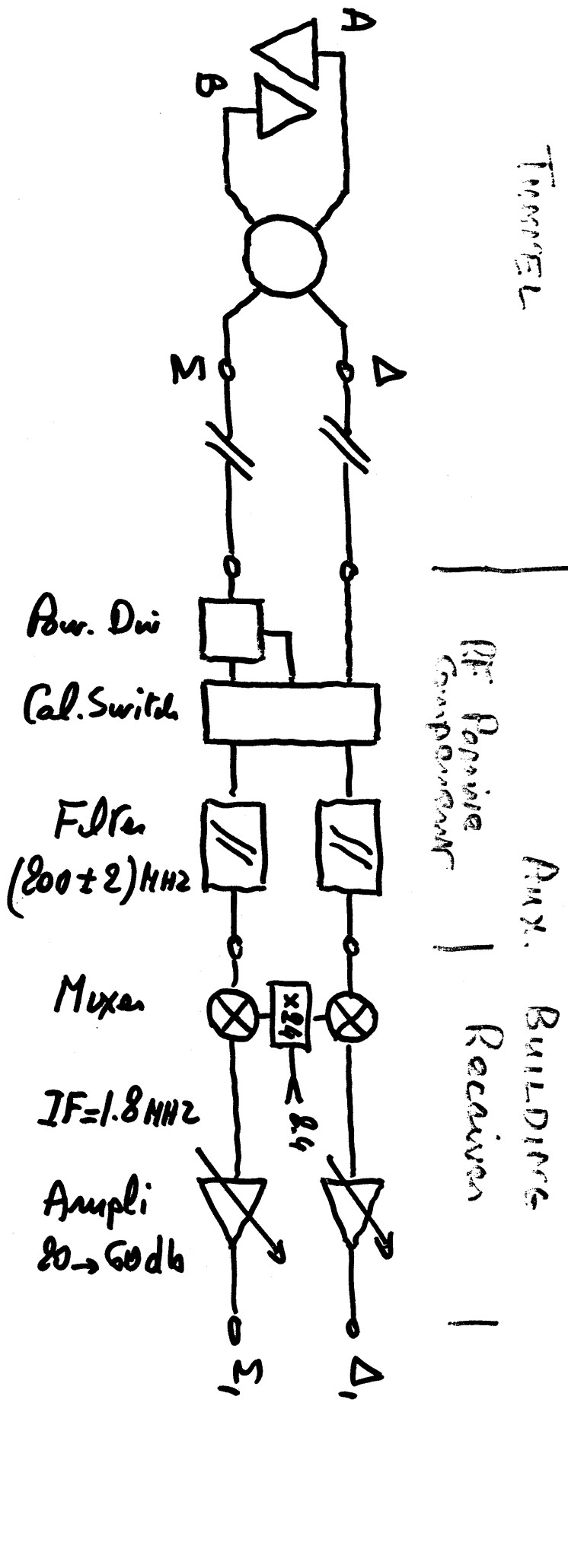
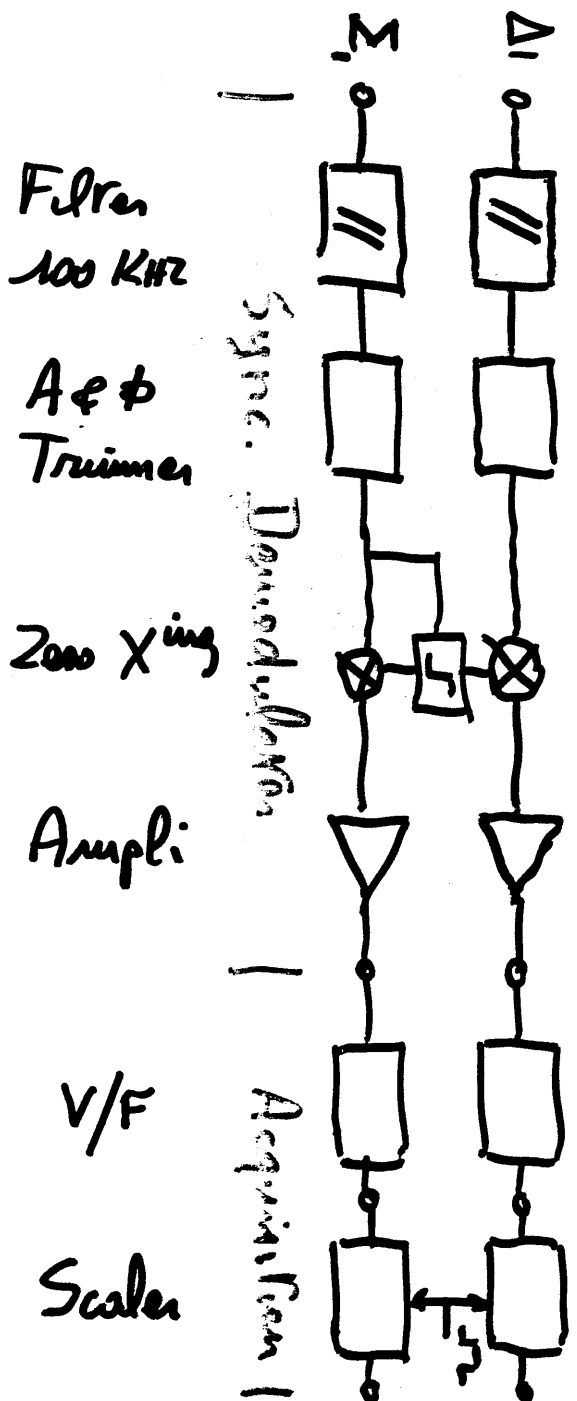
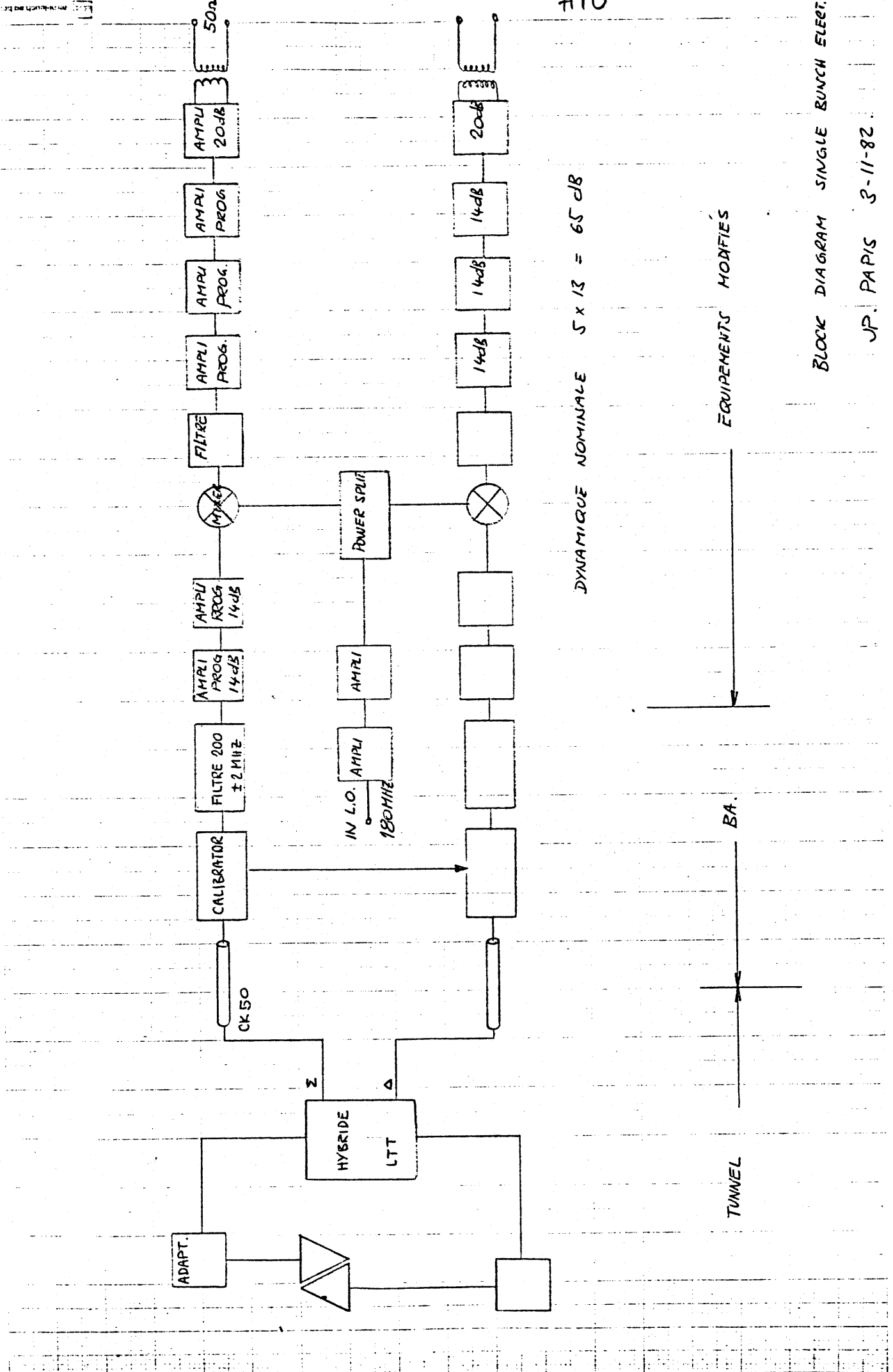
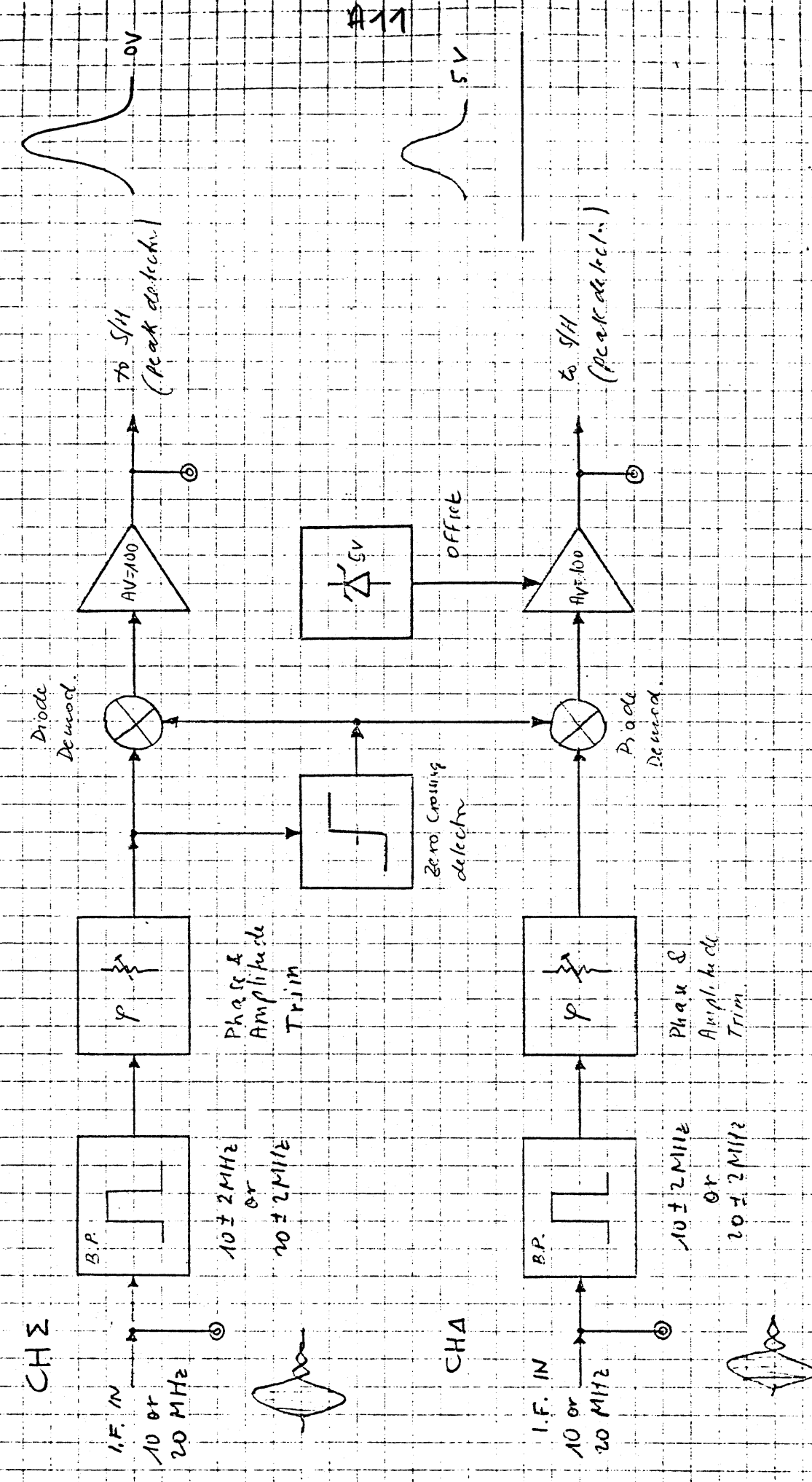


Fig. 2



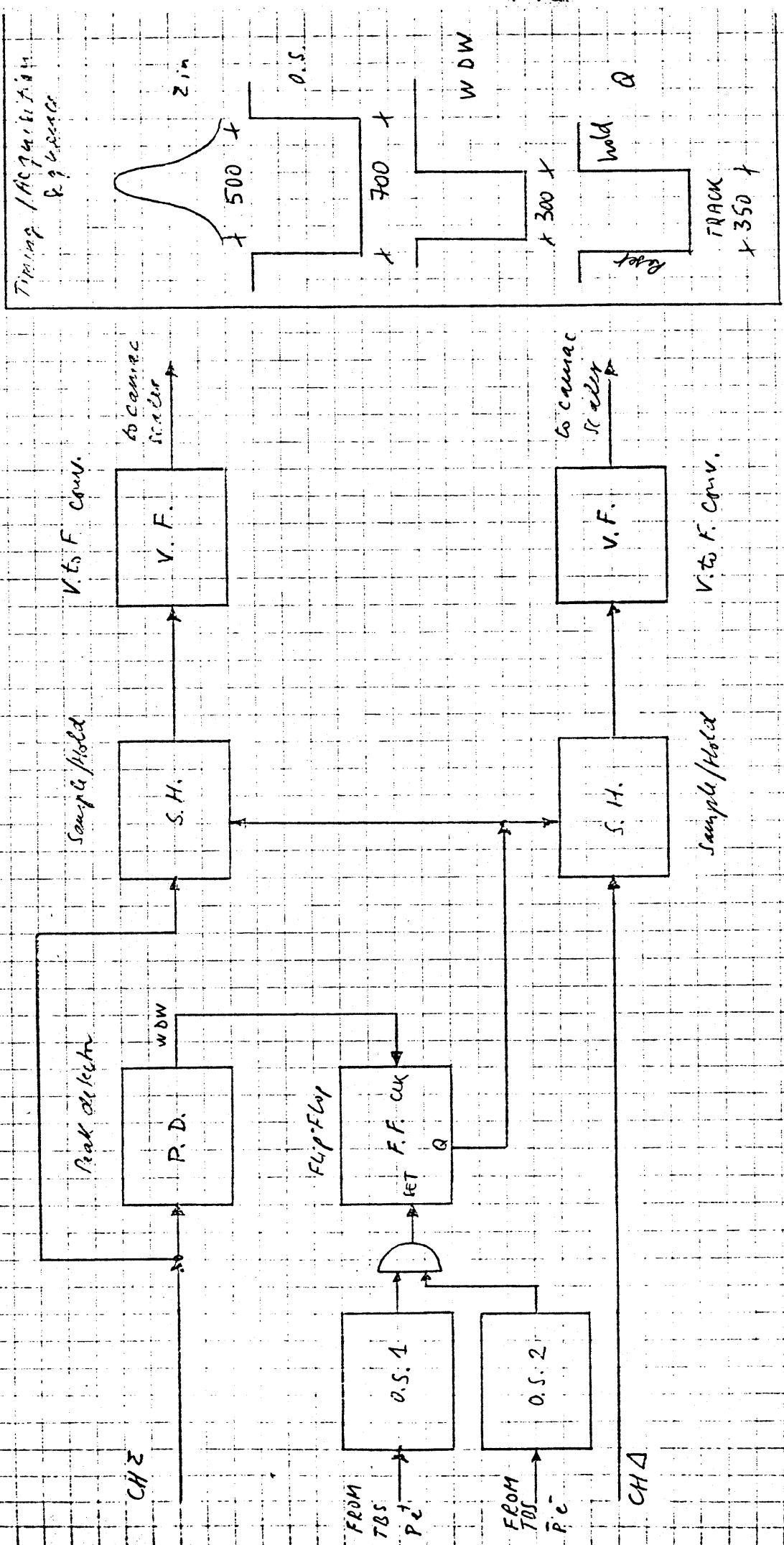






V.ROSSI 3/11/82

BLOCK DIAGRAM - FAST DEMOD.

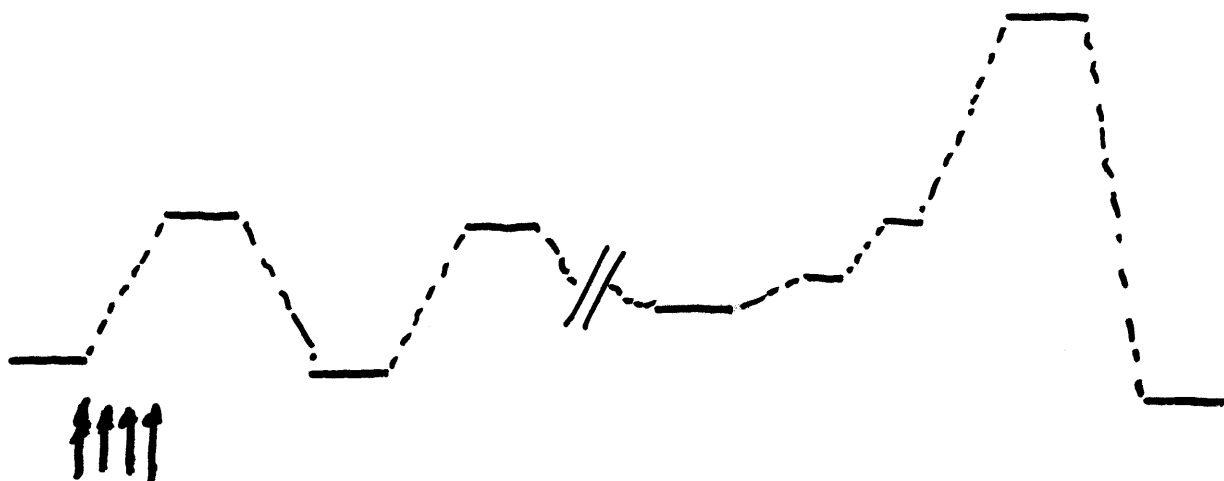


BP acquisitions

$$\begin{array}{c} \rho \\ e^+ \\ \hline + 4 \end{array}$$

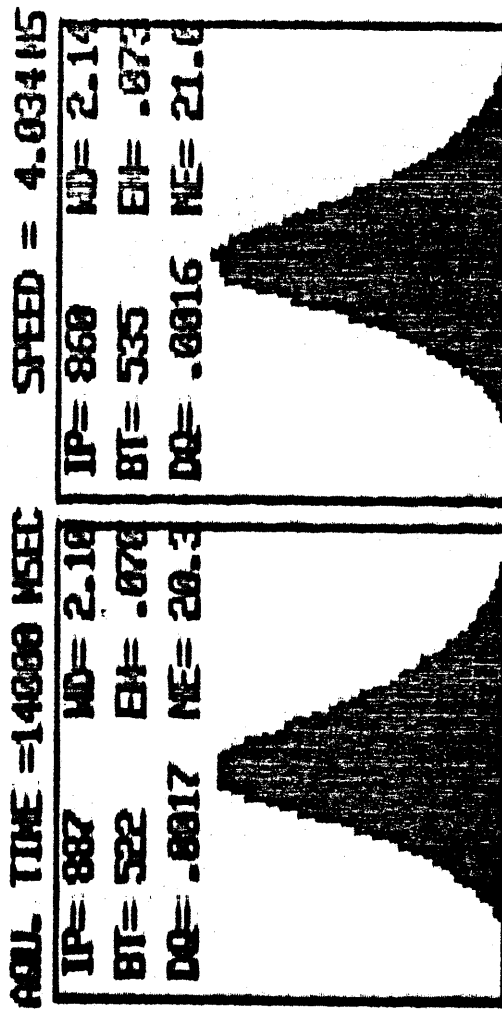
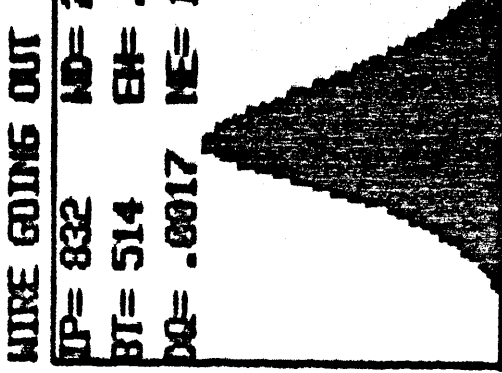
C.O. connection

| | | | | |
|------------|---------------|--|----|--------------------------------------|
| P | 216 | COD _a | DC | 10 GeV or 26 GeV |
| $p\bar{p}$ | 40 | POD _a | 26 | \rightarrow 270 GeV (low β) |
| | \rightarrow | 40 GEF _a | | |
| e^+e^- | 3.5 | \rightarrow 20 GeV | | |
| | \rightarrow | 216 POD _a | | |
| | but - | same magnets (laminated) | | |
| | - | same Pow. Sup ($\pm I_{MAX}$ in 1 sec) | | |
| | \rightarrow | 1 μ P/GP (\approx 36 COD _a) | | (Fair Acc) |



1 NOV 82

WIRE SCANNER PROFILES - M521960 13: 31RS

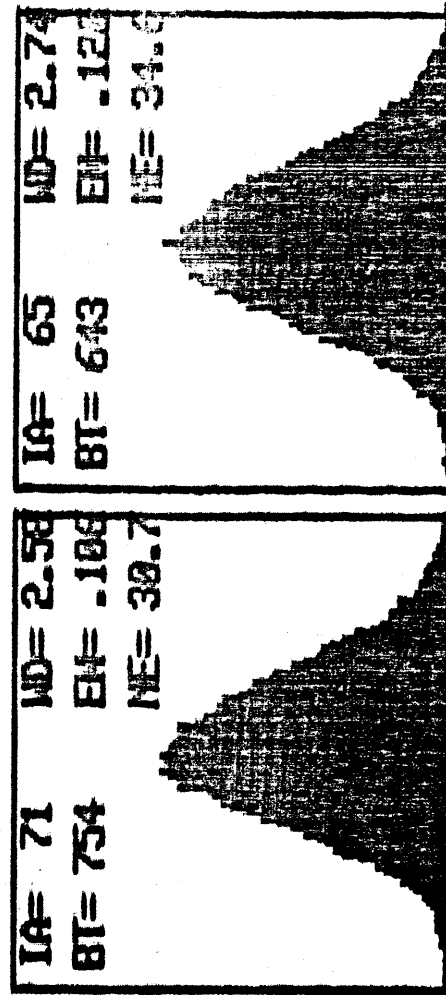
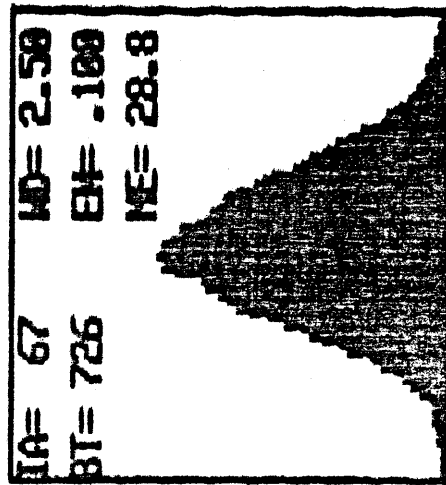


1ST P-BUNCH

3RD P-BUNCH

2ND P-BUNCH

A14



1ST P-BUNCH

3RD P-BUNCH

2ND P-BUNCH

$I_w = 1100 A$

A 15

1982-11-01-13:26:54 BRSC PROTONS BUNCH GLOBAL

TIMING 11900
GEV 269.9
IP 257.88

VERT. PROFILE

MEAN -12.1MM
2SIGMA 2.37MM(2.38)
EMIT. .077(. .072)
PEAK 3138

BOTTOM

TOP

HOR. PROFILE

MEAN -65.1MM
2SIGMA 1.82MM(1.86)
EMIT. .083(. .088)
PEAK 3954

RIGHT

LEFT

H. B. FIGURES IN PARENTHESIS = GAUSSIAN FITS

$\overline{I}_w = 1100 A$

A16

1982-11-01-13:19:28 BRSA ANTI PROTONS BUNCH GLOBAL

TIMING 12000
GEY 269.9
IP 19.45

VERT. PROFILE

MEAN 1.7MM
2SIGMA 2.67MM(2.43)
EMIT. .097(.088)
PEAK 2992

BOTTOM TOP

HOR. PROFILE

MEAN -24.6MM
2SIGMA 1.82MM(1.59)
EMIT. .084(.059)
PEAK 4493

RIGHT LEFT

H. B. FIGURES IN PARENTHESIS = GAUSSIAN FITS

1982-11-01-14:16:06

BRSC PROTONS BUNCH 3

TIMING 11900
GEV 269.9
IP 85.71

VERT. PROFILE

MEAN -12.1MM
2SIGMA 2.38MM(2.32)
EMIT. .077(.073)
PEAK 1555

BOTTOM

TOP

HOR. PROFILE

MEAN -65.0MM
2SIGMA 1.82MM(1.87)
EMIT. .084(.089)
PEAK 2010

H. B. FIGURES IN PARENTHESIS = GAUSSIAN FITS

RIGHT

LEFT

A17

A18

1982-11-01-14:21:09 BRSA ANTI PROTONS BUNCH 1

TIMING 12000

GEV 269.9

IP 6.30

VERT. PROFILE

MEAN 1.9MH
2SIGMA 2.49MH(2.36)
EMIT. .085(.076)
PEAK 1434

BOTTOM

TOP

HOR. PROFILE

MEAN -24.6MH
2SIGMA 1.74MH(1.54)
EMIT. .075(.054)
PEAK 2157

N. B. FIGURES IN PARENTHESIS = GAUSSIAN FITS

RIGHT

LEFT

Profile by Synchronization Light

- . visible
- . X rays

Diffraction

$$d \approx \lambda/\theta \rightarrow \approx \rho^{1/3} \lambda^{2/3} \approx .3 \text{ mm}$$

\rightarrow indep. of energy

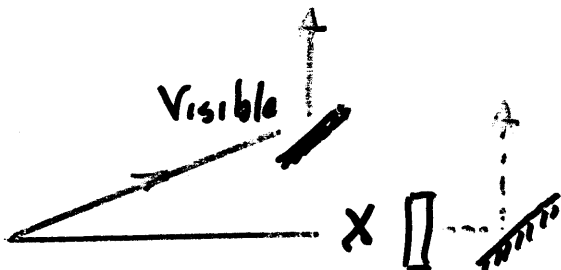
Depth of field

ρ : "punctual" edge effect or wiggler
 e^+e^- L in bending magnets

$$f \approx \frac{1}{4} \cancel{\lambda} \theta \rightarrow \approx \rho^{1/3} \lambda^{2/3} \approx .3 \text{ mm}$$

Power

- . Total $8.4 / \text{m}$
- . In visible P \downarrow
- . Attenuator in front of camera?



Longitudinal profile

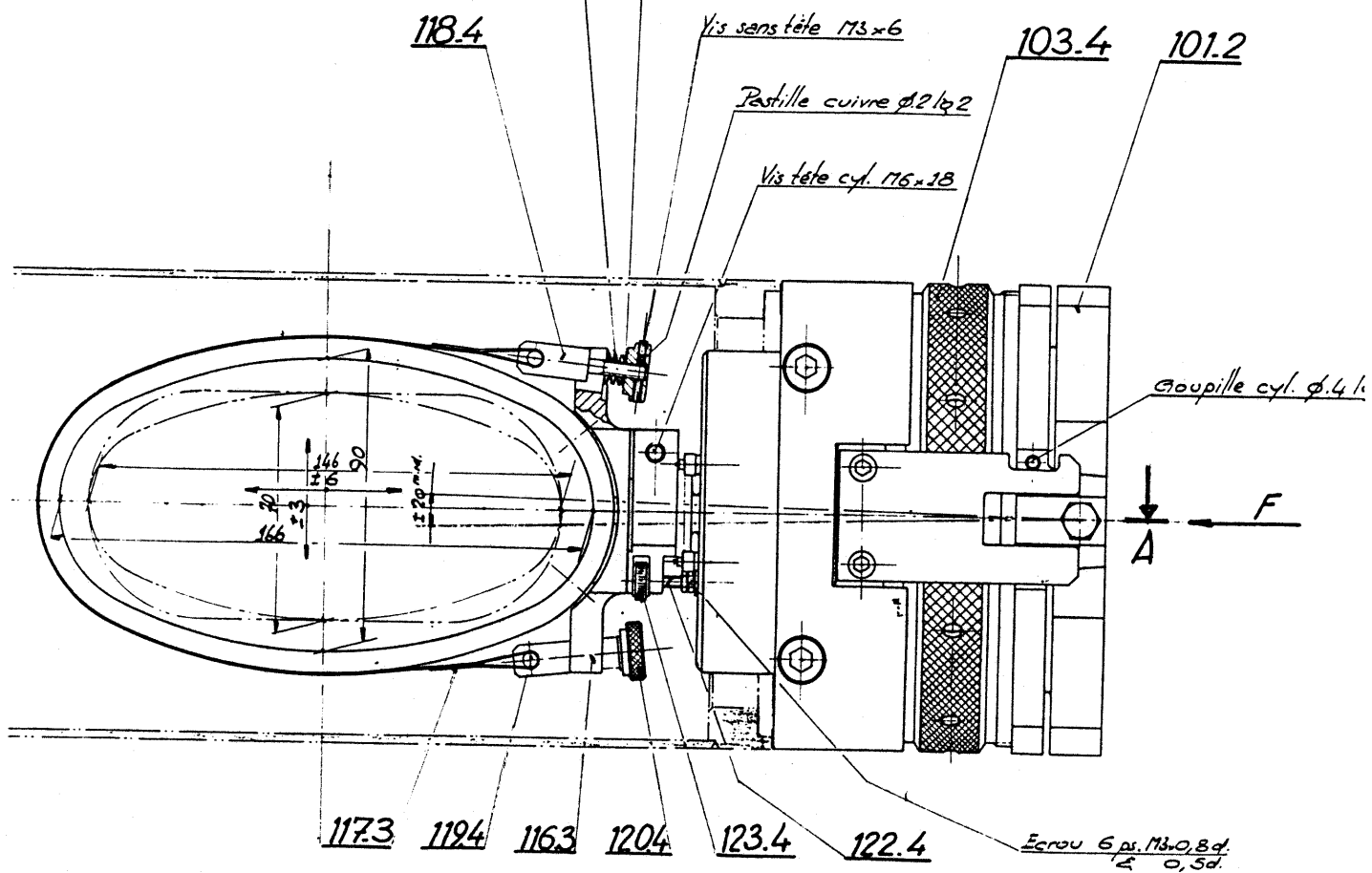
- . fast photo diode
- . streak camera

B1

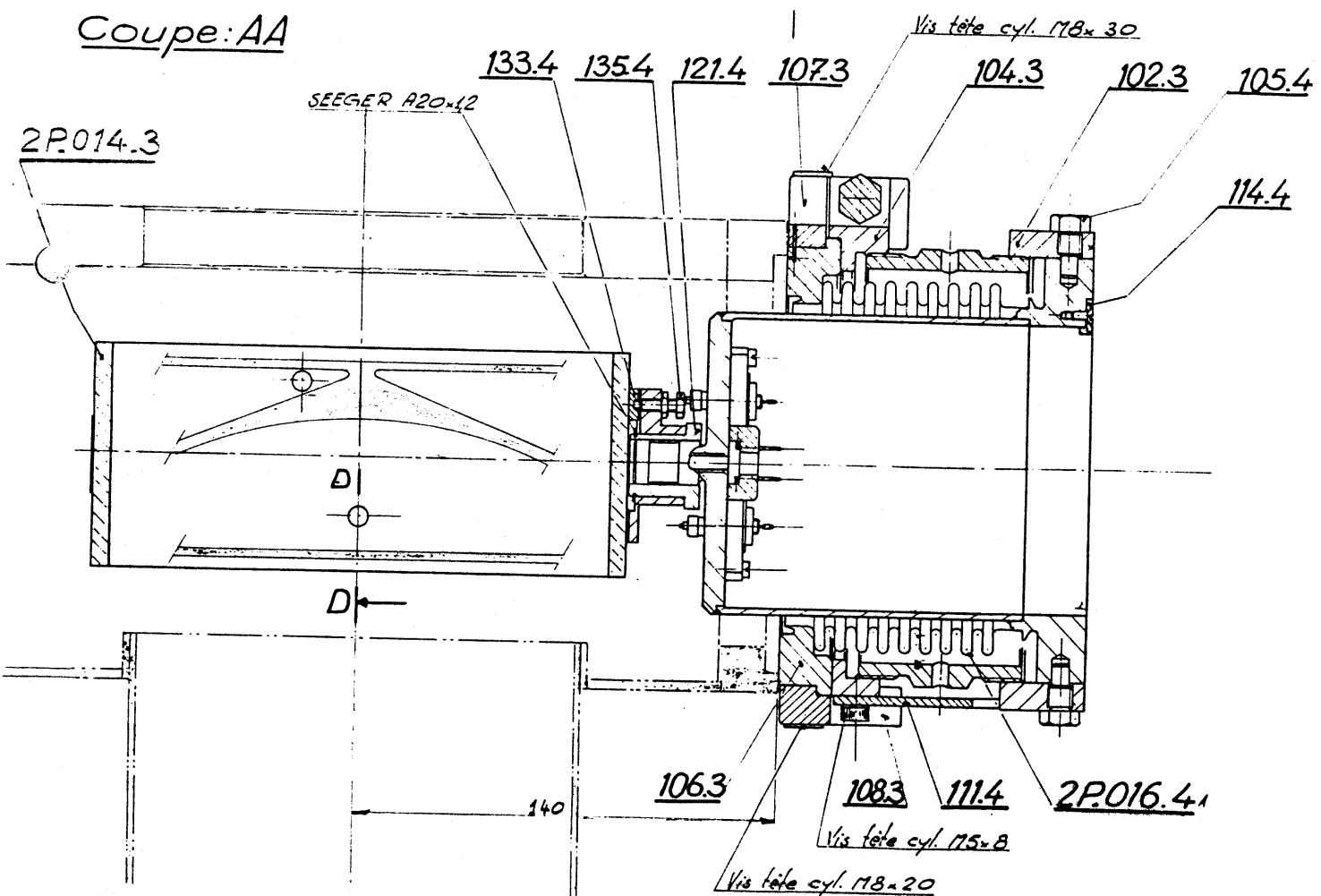
E. Schulte
4-11-82

Rond. élastiques schenck

Rondelle 114



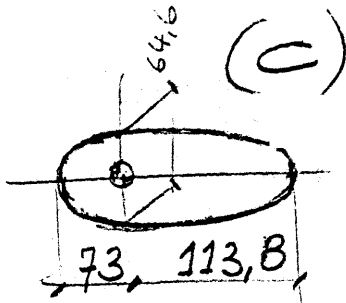
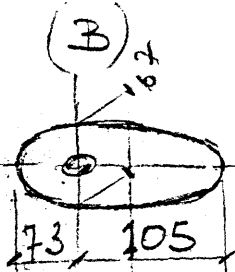
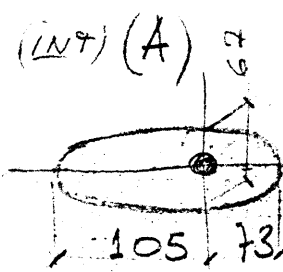
Coupe: AA



PICK UP STANDARD

MPS.2P05.100.04

le 27.9.82 à Darm



S-D 7 - 105 intérieur

d 15 ext. (ej. 16)

a 17 ext. (.)

c 25 ext. (ing. Linea)

d 27 ext. (.)

e 30 ext. (sección 31)

f 33 ext.

g 43 ext. (ing. Boceto)

h 57 ext. (ej. 58)

i 63 ext. (ej. 62)

j 73 ext. (ej. 74)

k 75 ext. (.)

l 83 ext. (sección 83)

m 85 ext. (")

(A)

(C)

(Dx)

(B)

(B)

(B)

(B)

(E)

(B)

(B)

(B)

(Dy)

(B)

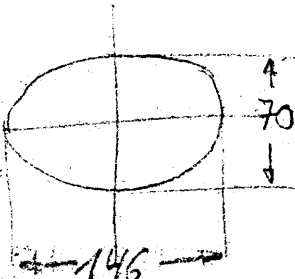
(B)

Aluminio:

normales: 90 x 166 mm

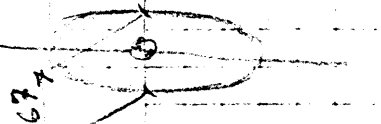
largos: 90 x 215 mm

Vacuum chamber:



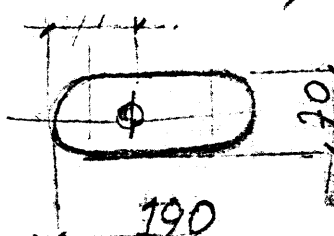
(E)

80, 105,



(D)

$$\begin{aligned} x &= 79 \\ y &= 99 \end{aligned}$$



TNTC

D. D. d. 20 10 0

B3

